

Определение парциальных  
неупругостей упругого  $\pi N$ -рассеяния  
с помощью экспериментальных  
данных процессов  $\pi N \rightarrow \pi\pi N$  в  
области импульсов  $300 < P_{\text{beam}} < 500$   
МэВ/с

Кожевников В. А.

Санкт-Петербургский государственный политехнический  
университет

Шерман С. Г.

Петербургский институт ядерной физики РАН

В стандартном фазовом анализе единственной связью  $\eta$  с неупругими каналами, которую можно использовать при определении неупругостей, - это включение в экспериментальную базу суммы полных сечений всех неупругих процессов:

$$\sigma_{tot}^{inel} = \pi \left( \frac{\lambda_{\pi}}{k} \right)^2 \sum_{l=0}^{\infty} [(l+1)(1 - (\eta_{l+})^2) + l(1 - (\eta_{l-})^2)] \quad (1)$$

Здесь  $k=p_{cms}/m_{\pi}$  - импульс частиц в с.ц.и. в единицах массы  $\pi$ -мезона, а  $\lambda_{\pi}$  - комптоновская длина волны  $\pi$ -мезона ( $\lambda_{\pi}=1/p_{cms}$ ).

Но это будет всего лишь одна точка среди сотен точек из упругих спектров, и ее влияние на общий  $\chi^2$  будет ничтожно.

Если же иметь аналитическое выражение для амплитуды неупругого процесса, то соотношение унитарности дает возможность вычислить все  $\eta$ .

Подробный вывод необходимых для этого формул приведен в В.А. Кожевников, С.Г. Шерман, Препринт N 2734, ПИЯФ (Гатчина, 2007)

Используемая нами амплитуда описана в А.А. Volokhov, M.V. Polyakov and S.G. Sherman, Eur. Phys. J. A1, 317 (1998)

Соотношение унитарности для амплитуды упругого рассеяния  $f$  имеет вид:

$$\langle \mathbf{n}_f \lambda_f | f | \mathbf{n}_i \lambda_i \rangle - \langle \mathbf{n}_i \lambda_i | f | \mathbf{n}_f \lambda_f \rangle^* = iU_2 + iU_{inel}$$

где

$$U_2 = \frac{(2\pi)^4}{8\pi\sqrt{s}} \int \sum \langle \mathbf{n}_f \lambda_f | A_{2f}^+ A_{2i} | \mathbf{n}_i \lambda_i \rangle d\Gamma_2$$

$$U_3 = \frac{(2\pi)^4}{8\pi\sqrt{s}} \int \sum \langle \mathbf{n}_f \lambda_f | A_{3f}^+ A_{3i} | \mathbf{n}_i \lambda_i \rangle d\Gamma_3$$

и

$$U_{inel} = U_3 + U_4 + \dots$$

- сумма всех возможных неупругих процессов.

Амплитуда упругого рассеяния и соотношение унитарности для нее диагональны в моментном представлении с определенной четностью.

Поэтому для диагонализации соотношения унитарности надо с обеими частями произвести следующие действия:

1) Умножить на  $d_{\lambda\lambda'}(\theta)/2$  и проинтегрировать от 0 до  $\pi$  по  $\sin\theta d\theta$  в соответствии с правилом перехода в моментное спиральное представление из импульсного спирального:

$$f_{\lambda\lambda'}^{(j)} = \frac{1}{2} \int_0^\pi f_{\lambda\lambda'}^{(p)} d_{\lambda\lambda'}^{(j)}(\theta) \sin(\theta) d\theta$$

где  $\theta$  - угол между  $\mathbf{n}_f$  и  $\mathbf{n}_i$ .

2) Преобразовать к амплитуде перехода между состояниями с определенной четностью и моментом, т.е. произвести диагонализацию. Эта процедура выполняется с помощью унитарной матрицы  $V$ :

$$V = \frac{1}{\sqrt{2}} \begin{pmatrix} 1 & 1 \\ 1 & -1 \end{pmatrix}$$

$$\text{diag}(M) = V \cdot M \cdot V$$

Для упругой амплитуды результаты этого действия имеют вид:

$$f_+^{(j)} = f_{\frac{11}{22}}^{(j)} - f_{\frac{1-1}{22}}^{(j)}, f_-^{(j)} = f_{\frac{11}{22}}^{(j)} + f_{\frac{1-1}{22}}^{(j)}$$

Индексы "+" и "-" означают не четность состояния, а правило, по которому надо вычислить орбитальный момент  $l$ : значок плюс означает, что  $l=j+1/2$ , а значок минус означает, что  $l=j-1/2$ .

Соответствие между нашими обозначениями и нотацией, принятой в фазовом анализе, таково:

$$f_-^{(\frac{1}{2})} \equiv S1, f_+^{(\frac{1}{2})} \equiv P1, f_-^{(\frac{3}{2})} \equiv P3$$

и т.д.

Параметризация этих диагональных элементов

$$f_{\pm}^{(j)} = \frac{\eta_{\pm}^{(j)} e^{2i\delta_{\pm}^{(j)}} - 1}{2ip_{cms}}$$

После диагонализации:

$$U_2^{(j)} = 2p \begin{pmatrix} |f_-^{(j)}|^2 & 0 \\ 0 & |f_+^{(j)}|^2 \end{pmatrix}$$

$$U_{inel}^{(j)} = 2p \begin{pmatrix} |U_{-inel}^{(j)}|^2 & 0 \\ 0 & |U_{+inel}^{(j)}|^2 \end{pmatrix}$$

В итоге соотношение унитарности сведется к бесконечному количеству простых уравнений:

$$\text{Im } f^{(j)} = pf^{(j)+} f^{(j)} + \frac{1}{2} U_{inel}^{(j)}$$

Подставив сюда выражение для  $f$ , получим решение этих уравнений:

$$\eta_{\pm}^{(j)} = \sqrt{1 - 2p \sum_{k=3}^{\infty} (U_{\pm inel}^{(j)I})_k}$$

В дальнейшем мы ограничимся трехчастичным промежуточным состоянием, поэтому из всех  $U_{inel}$  напишем явно лишь член  $U_3$ :

$$\begin{aligned} (U_3^{(j)I})_{nm} &= \frac{1}{16\pi\sqrt{s}} \frac{1}{(2\pi)^5} V_{nf} \left[ \int_0^{\pi} d\theta \sin \theta d_{\lambda_f \lambda_i}^{(j)}(\theta) \times \right. \\ &\times \int \frac{d^3 k_1}{2E_1} \frac{d^3 k_2}{2E_2} \frac{d^3 k_3}{2E_3} \delta^4(P_i - k_1 - k_2 - k_3) \times \\ &\times \left. \sum \langle \lambda_f | A_{3f}^{I*} A_{3i}^I | \lambda_i \rangle \right]_{fi} V_{im} \end{aligned}$$

где  $f$ ,  $i$ ,  $m$  и  $n$  - индексы у  $2 \times 2$  матриц. По  $f$  и  $i$  идет суммирование при умножении на матрицы  $V$  (обычное суммирование при умножении матриц - «строка на столбец»).

Здесь появился индекс  $I$ , означающий полный изоспин системы. Для каждого значения  $I$  существует свое соотношение унитарности. По виду они совершенно аналогичны, но в каждом свои неупругие амплитуды, соответствующие заданному значению  $I$ .

Мы будем работать, оставаясь в пределах изотопической инвариантности.

Напишем соотношение унитарности для изотопических упругих амплитуд.

Соответственно и амплитуды процесса  $\pi N \rightarrow \pi\pi N$  тоже напишем для изотопических каналов реакции.

Для реакции

$$\pi^a(k_1) + N_\alpha(p; \lambda_i) \rightarrow \pi^b(k_2) + \pi^c(k_3) + N_\beta(q; \lambda_f)$$

воспользуемся следующей изотопически-инвариантной формой записи амплитуды:

$$(A_3)_{\beta\alpha}^{abc}(\lambda_f; \lambda_i) = \bar{u}(q; \lambda_f)(\hat{A}_3)_{\beta\alpha}^{abc}(i\gamma^5)u(p; \lambda_i)$$

где  $a, b, c = 1, 2, 3$  и  $\alpha, \beta = 1, 2$  - изотопические индексы пионов и нуклонов, соответственно,  $\lambda_i, \lambda_f$  - поляризации начальных (конечных) нуклонов, и операторная часть имеет вид:

$$(\hat{A}_3)_{\beta\alpha}^{abc} = \hat{A}\tau_{\beta\alpha}^a \delta^{bc} + \hat{B}\tau_{\beta\alpha}^b \delta^{ac} + \hat{C}\tau_{\beta\alpha}^c \delta^{ab} + \hat{D}i\epsilon^{abc} \delta_{\beta\alpha}$$

Здесь  $A, B, C, D$  - изоскалярные функции кинематических переменных,  $\tau$  - изоспиновые генераторы нуклонов.

Четыре возможные изотопические амплитуды выражаются через эти функции

$$B_{\frac{3}{2}\frac{2}{2}} = -\sqrt{\frac{5}{8}}(B + C),$$

$$B_{\frac{3}{2}\frac{1}{2}} = \frac{1}{2\sqrt{2}}(-B + C + 4D),$$

$$B_{\frac{1}{2}\frac{1}{2}} = \frac{1}{\sqrt{2}}(B - C + 2D),$$

$$B_{\frac{1}{2}\frac{0}{2}} = \frac{1}{2}(3A + B + C)$$

Здесь первый индекс у функции  $B$  означает полный изоспин системы, а второй - полный изоспин двух конечных  $\pi$ -мезонов.



Так как амплитуды экспериментально наблюдаемых процессов  $\pi N \rightarrow \pi\pi N$  выражаются через эти же функции  $A, B, C, D$ :

$$\hat{A}_{\{\pi^+ p \rightarrow \pi^+ \pi^+ n\}} = (\hat{B} + \hat{C})$$

$$\hat{A}_{\{\pi^+ p \rightarrow \pi^+ \pi^0 p\}} = \frac{\sqrt{2}}{2} (\hat{C} + 2\hat{D})$$

$$\hat{A}_{\{\pi^- p \rightarrow \pi^- \pi^0 p\}} = \frac{\sqrt{2}}{2} (\hat{C} - 2\hat{D})$$

$$\hat{A}_{\{\pi^- p \rightarrow \pi^- \pi^+ n\}} = (\hat{A} + \hat{C})$$

$$\hat{A}_{\{\pi^- p \rightarrow \pi^0 \pi^0 n\}} = \hat{A}$$

то их можно найти из сравнения с измеренными сечениями и спектрами.

Через те же  $A, B, C, D$  выражаются все возможные каналы реакций  $\pi N \rightarrow \pi\pi N$  — еще три канала рассеяния  $\pi^0$ -мезона на протоне и восемь каналов при столкновении  $\pi$ -мезонов с нейтроном.

Итак, в соотношении унитарности диагональные члены матрицы, происходящей от процессов  $\pi N \rightarrow \pi\pi N$ , имеют вид:

$$\begin{aligned}
 (U_{3-}^{(j)\frac{3}{2}}) &= \frac{1}{16\pi\sqrt{s}} \frac{1}{(2\pi)^5} \int_0^\pi d\theta \sin\theta \int \frac{d^3k_1}{2E_1} \times \\
 &\times \frac{d^3k_2}{2E_2} \frac{d^3k_3}{2E_3} \delta^4(P_i - k_1 - k_2 - k_3) \left\{ d_{\frac{11}{22}}^{(j)}(\theta) \times \right. \\
 &\times \left[ \left\langle \frac{1}{2} \left| B_{\frac{3}{2}2(f)}^* B_{\frac{3}{2}2(i)} \right| \frac{1}{2} \right\rangle + \left\langle \frac{1}{2} \left| B_{\frac{3}{2}1(f)}^* B_{\frac{3}{2}1(i)} \right| \frac{1}{2} \right\rangle \right] + \\
 &+ d_{\frac{1}{2}-\frac{1}{2}}^{(j)}(\theta) \left[ \left\langle \frac{1}{2} \left| B_{\frac{3}{2}2(f)}^* B_{\frac{3}{2}2(i)} \right| -\frac{1}{2} \right\rangle + \right. \\
 &\left. + \left\langle \frac{1}{2} \left| B_{\frac{3}{2}1(f)}^* B_{\frac{3}{2}1(i)} \right| -\frac{1}{2} \right\rangle \right] \left. \right\}
 \end{aligned}$$

$$\begin{aligned}
(U_{3+}^{(j)\frac{3}{2}}) &= \frac{1}{16\pi\sqrt{s}} \frac{1}{(2\pi)^5} \int_0^\pi d\theta \sin\theta \int \frac{d^3k_1}{2E_1} \times \\
&\times \frac{d^3k_2}{2E_2} \frac{d^3k_3}{2E_3} \delta^4(P_i - k_1 - k_2 - k_3) \left\{ d_{\frac{11}{22}}^{(j)}(\theta) \times \right. \\
&\times \left[ \left\langle \frac{1}{2} \left| B_{\frac{3}{2}2(f)}^* B_{\frac{3}{2}2(i)} \right| \frac{1}{2} \right\rangle + \left\langle \frac{1}{2} \left| B_{\frac{3}{2}1(f)}^* B_{\frac{3}{2}1(i)} \right| \frac{1}{2} \right\rangle \right] - \\
&+ d_{\frac{1}{2}\frac{1}{2}}^{(j)}(\theta) \left[ \left\langle \frac{1}{2} \left| B_{\frac{3}{2}2(f)}^* B_{\frac{3}{2}2(i)} \right| -\frac{1}{2} \right\rangle + \right. \\
&\left. + \left\langle \frac{1}{2} \left| B_{\frac{3}{2}1(f)}^* B_{\frac{3}{2}1(i)} \right| -\frac{1}{2} \right\rangle \right] \left. \right\}
\end{aligned}$$

Выражения для  $I=1/2$  записываются совершенно аналогично.

Для того чтобы вычислить эти подынтегральные выражения, надо знать, как устроены функции  $A, B, C, D$ . Каждая из изоскалярных функций может быть разложена на независимые спинорные формфакторы:

$$\widehat{X} = S^X + 2V_R^X \widehat{k}_R + 2V_I^X \widehat{k}_I + T^X \left[ \widehat{k}_R, \widehat{k}_I \right]$$

где

$$k_R = -k_1 - (k_2 + k_3) / 2, \quad k_I = \sqrt{3}(k_2 - k_3) / 2$$

- кроссинг-ковариантные комплексные комбинации пионных импульсов.

Индекс  $X$  означает любой из спинорных формфакторов  $A, B, C, D$ .

$S, V_R, V_I$  и  $T$  -- изотопические формфакторы, зависящие от пяти кинематических релятивистских инвариантов процесса. Мы пользуемся кроссинг-ковариантными релятивистскими инвариантами:

$$\begin{aligned} \tau &= (p-q)^2, & \theta_R &= (p-q) \cdot k_R, \\ \theta_I &= (p-q) \cdot k_I, & \nu_R &= (p+q) \cdot k_R, \\ \nu_I &= (p+q) \cdot k_I \end{aligned}$$

Тогда произведение изотопических амплитуд после преобразований можно записать в виде:

$$B_{3f}^{\lambda_f} B_{3i}^{\lambda_i} = \begin{pmatrix} S \\ V_R \\ V_I \\ T \end{pmatrix}_f^+ G^{\lambda_f \lambda_i} \begin{pmatrix} S \\ V_R \\ V_I \\ T \end{pmatrix}_i$$

где

$$G^{\lambda_f \lambda_i} = u^{-\lambda_f} \begin{pmatrix} \hat{1} \\ -2\hat{k}_R \\ -2\hat{k}_I \\ -[\hat{k}_R, \hat{k}_I] \end{pmatrix}_f (\hat{q} - m) \begin{pmatrix} \hat{1} \\ -2\hat{k}_R \\ -2\hat{k}_I \\ [\hat{k}_R, \hat{k}_I] \end{pmatrix}_i^T u^{\lambda_i}$$

При вычислении конкретного изотопического вклада по этой формуле надо в качестве  $V_{\text{ГД}}$  брать нужную сумму в соответствии с формулами выше:

$$S_{B_{\frac{3}{2}}} = -\sqrt{\frac{5}{8}}(S^B + S^C)$$

$$S_{B_{\frac{3}{1}}} = \frac{1}{2\sqrt{2}}(-S^B + S^C + 4S^D)$$

...

$$T_{B_{\frac{1}{0}}} = \frac{1}{2}(3T^A + T^B + T^C)$$

У нас нет критерия, по которому мы могли бы предпочесть какие-либо из перечисленных решений, поэтому для всех этих решений вычислены парциальные неупругости для первых восьми парциальных волн для обоих изоспиновых состояний в интервале импульсов от порога до 0.600 ГэВ/с. Все решения дают примерно одинаковое поведение неупругостей в области до 0.500 ГэВ/с.

На рис. 1 ниже приведены результаты вычисления величин, определяющих неупругие парциальные сечения для первых восьми волн в обоих изоспиновых каналах. Для каждой волны нарисованы линии, соответствующие всем 12 решениям. По толщине жгута можно судить о теоретической неопределенности полученных результатов.

Характерной особенностью является то, что  $P_{11}$ -волна дает неупругость, значительно превышающую неупругость во всех остальных волнах.

На этом же рис приведены значения неупругостей, полученные в фазовом анализе Арндта – R.A. Arndt, W.J. Briscoe, I.I. Strakovsky and R.L. Workman, Phys. Rev. C **74**, 045205 (2006) [nucl-th/0605082].

Основной вклад в неупругие каналы дает волна  $P_{11}$  (как и у Арндта, наши значения скрыли линию Арндта). Похожи неупругости и в волне  $S_{11}$ .

Зато две следующие по вкладу волны ( $P_{13}$  и  $P_{33}$ ) у нас больше, а  $D_{13}$  и  $D_{15}$  меньше. Качественные отличия наблюдаются в волнах  $S_{31}$  и  $P_{33}$  – у нас они монотонно растут с энергией, тогда как в решении Арндта они имеют структуру.

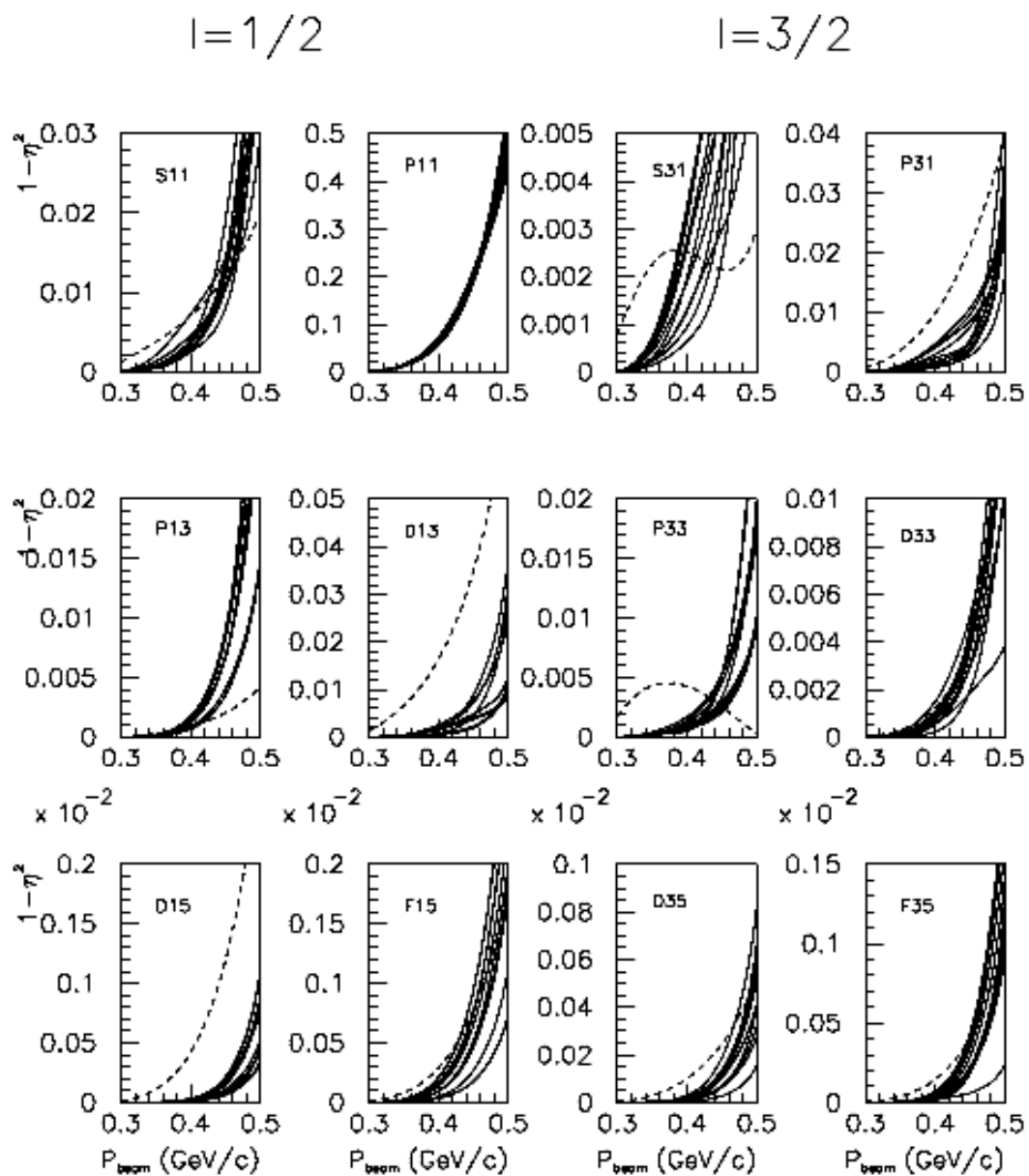


Рис. 1. Парциальные неупругости  $(1-\eta^2)$  из решения Арндта (штриховые кривые) и наши решения (сплошные кривые).



Фазовый анализ упругого  $\pi^+$ р-рассеяния, учитывающий полные сечения неупругих каналов согласно соотношению (1) на сумму полных неупругих сечений выполнил Абаев в Петербургском институте ядерной физики.

Полученные им предварительные значения неупругостей вместе с нашими значениями и значениями Арндта приведены на рис. 2 ниже.

Видно, что правая часть этого соотношения насыщается у Абаева другими парциальными волнами по сравнению с настоящей работой.

$1-\eta^2$  for  $l=3/2$

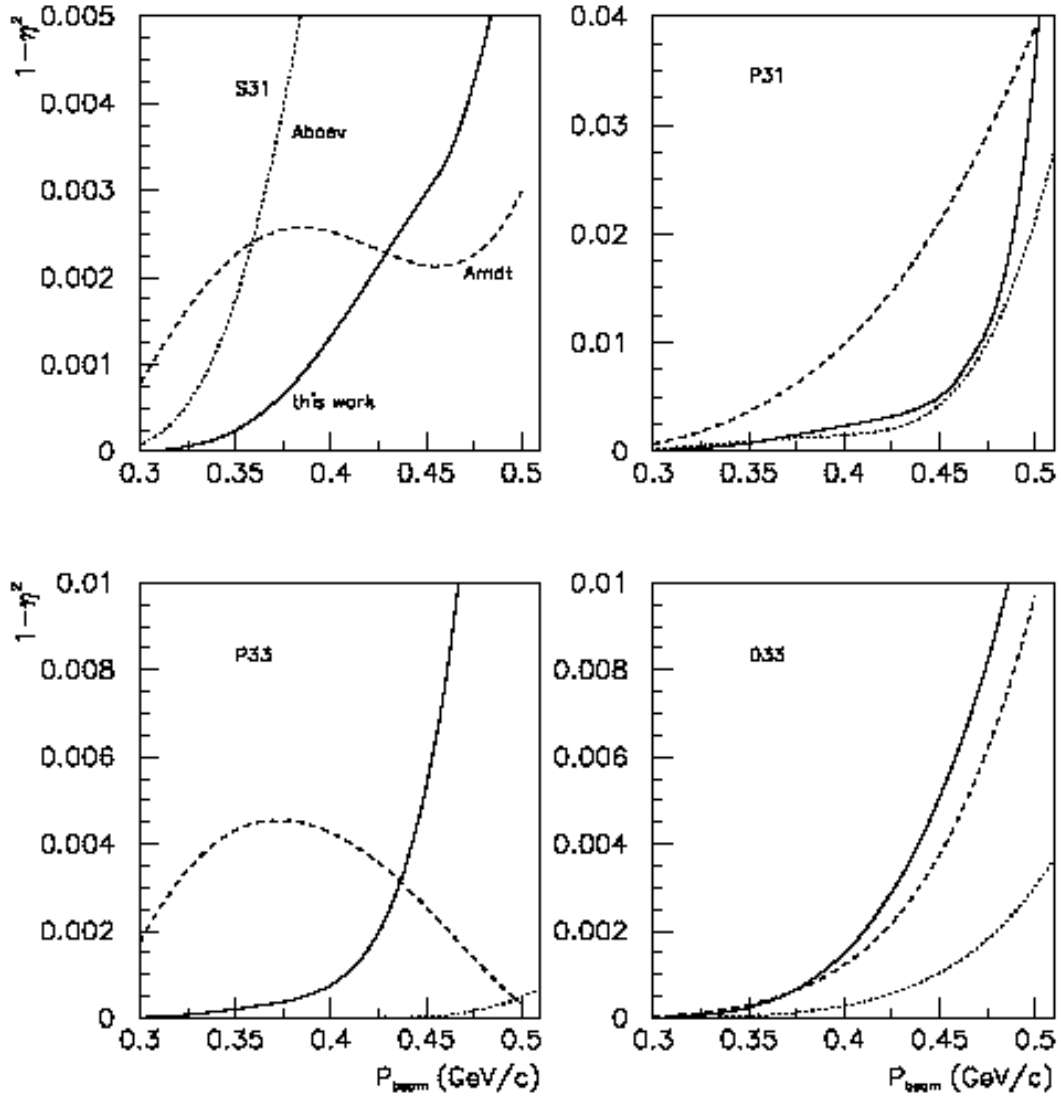


Рис. 2. Парциальные неупругости ( $1-\eta^2$ ) из решения Абаева (точки), Арндта (штрихи) и наши из первого решения (сплошные кривые).

Результаты наших вычислений можно проверить на самосогласованность.

С одной стороны, мы имеем амплитуды изотопических каналов реакции и, значит, можем вычислить соответствующие полные сечения:

$$\sigma_{\frac{3}{2}} = \int |B_{\frac{3}{2}}|^2 d\Gamma, \sigma_{\frac{3}{1}} = \int |B_{\frac{3}{1}}|^2 d\Gamma$$

$$\sigma_{\frac{1}{1}} = \int |B_{\frac{1}{1}}|^2 d\Gamma, \sigma_{\frac{1}{0}} = \int |B_{\frac{1}{0}}|^2 d\Gamma$$

Тогда полные неупругие сечения для состояний  $I=3/2$  и  $I=1/2$ :

$$\sigma_{\frac{3}{2}} = \sigma_{\frac{3}{2}} + \sigma_{\frac{3}{1}}, \sigma_{\frac{1}{2}} = \sigma_{\frac{1}{1}} + \sigma_{\frac{1}{0}}$$

С другой стороны, мы можем вычислить эти же величины через определенные нами парциальные неупругости с помощью формулы (1) - напомним, что при определении неупругостей мы не использовали соотношение (1).

Соответствующие значения приведены в табл. 1 для  $I=3/2$  (столбцы 3 и 4) и в табл. 2 для  $I=1/2$  (столбцы 4 и 5). Второй столбец в этих таблицах показывает сумму экспериментальных сечений двух неупругих реакций  $\pi^+p \rightarrow \dots$  и трех реакций  $\pi^+p \rightarrow \dots$

Еще одна проверка - сравнение экспериментальных данных с величинами, которыми мы оперируем. Для этого надо воспользоваться связью между суммой полных сечений во всех каналах для каждого начального состояния  $\pi N$ -системы и изотопическими полными неупругими сечениями

$$\sigma_{\pi^+ p \rightarrow \pi^+ \pi^+ n} + \sigma_{\pi^+ p \rightarrow \pi^+ \pi^0 p} = \sigma_{\frac{3}{2}}$$

$$\sigma_{\pi^- p \rightarrow \pi^0 \pi^0 n} + \sigma_{\pi^- p \rightarrow \pi^- \pi^0 p} + \sigma_{\pi^- p \rightarrow \pi^- \pi^+ n} = \frac{1}{3} \sigma_{\frac{3}{2}} + \frac{2}{3} \sigma_{\frac{1}{2}}$$

$$\sigma_{\pi^0 p \rightarrow \pi^0 \pi^0 p} + \sigma_{\pi^0 p \rightarrow \pi^- \pi^+ p} + \sigma_{\pi^0 p \rightarrow \pi^+ \pi^0 n} = \frac{2}{3} \sigma_{\frac{3}{2}} + \frac{1}{3} \sigma_{\frac{1}{2}}$$

В тех же таблицах соответствующие данные приведены в третьем столбце, они сравниваются со вторым столбцом.

Полученные числа не демонстрируют никаких существенных противоречий при  $P_{\text{beam}} < 0.5$  ГэВ/с.

Для сравнения в последнем столбце таблиц приведены изотопические полные неупругие сечения, вычисленные по результатам фазового анализа Арндта, которые в начале таблиц значительно больше наших и экспериментальных. В табл. 2 приведены аналогичные величины, полученные Абаевым для упругого  $\pi^+ p$  рассеяния, которые гораздо лучше совпадают с экспериментом т.к. он учитывал вклад неупругих полных сечений по формуле 1.

| P <sub>beam</sub> ,<br>ГэВ/с | Сечение, мбн                              |                                   |                        |               |       |
|------------------------------|---|-----------------------------------|------------------------|---------------|-------|
|                              | Эксперимент<br>$\pi^+p \rightarrow \dots$ | $\sigma_{3/2,2} + \sigma_{3/2,1}$ | Настоящая<br>работа    | Ардт<br>и др. | Абаев |
|                              |   |                                   | По неупругостям $\eta$ |               |       |
| 0.30                         | 0.0017                                    | 0.0014                            | 0.0017                 | 0.116         | 0.064 |
| 0.32                         | 0.008                                     | 0.007                             | 0.008                  | 0.20          | 0.018 |
| 0.34                         | 0.02                                      | 0.02                              | 0.02                   | 0.26          | 0.04  |
| 0.36                         | 0.04                                      | 0.04                              | 0.05                   | 0.30          | 0.06  |
| 0.38                         | 0.06                                      | 0.07                              | 0.08                   | 0.33          | 0.11  |
| 0.40                         | 0.11                                      | 0.11                              | 0.12                   | 0.35          | 0.14  |
| 0.42                         | 0.16                                      | 0.16                              | 0.19                   | 0.39          | 0.18  |
| 0.44                         | 0.23                                      | 0.26                              | 0.30                   | 0.43          | 0.23  |
| 0.46                         | 0.34                                      | 0.43                              | 0.48                   | 0.50          | 0.29  |
| 0.48                         | 0.51                                      | 0.73                              | 0.80                   | 0.58          | 0.38  |
| 0.50                         | 0.7                                       | 1.28                              | 1.38                   | 0.69          | 0.52  |
| 0.52                         | 0.9                                       | 2.27                              | 2.38                   | 0.83          | 0.69  |

Таблица 1. Сравнение экспериментальных неупругих полных сечений с нашими результатами и результатами фазовых анализов Ардта-2006 и Абаева-2007 при  $I=3/2$ . Импульсы приведены в ГэВ/с, сечения в миллибарнах. Сечения в последних трех столбцах вычислены с помощью неупругостей  $\eta$ .

| P <sub>beam</sub><br>,<br>ГэВ/<br>с | Сечение, мбн                 |  |                                   |                        |             |
|-------------------------------------|------------------------------|--|-----------------------------------|------------------------|-------------|
|                                     | Эксперимент $\pi^-$<br>p→... | $(1/3)\sigma_{1/2,1^+}$<br>+ $(2/3)\sigma_{1/2,0}$ | $\sigma_{1/2,1} + \sigma_{1/2,0}$ | Настоящая работа       | Арндт и др. |
|                                     |                              |  |                                   | По неупругостям $\eta$ |             |
| 0.30                                | 0.01                         | 0.01   | 0.017                             | 0.018                  | 0.13        |
| 0.32                                | 0.05                         | 0.05   | 0.07                              | 0.076                  | 0.28        |
| 0.34                                | 0.22                         | 0.13   | 0.19                              | 0.20                   | 0.47        |
| 0.36                                | 0.32                         | 0.27   | 0.39                              | 0.40                   | 0.72        |
| 0.38                                | 0.50                         | 0.48   | 0.69                              | 0.71                   | 1.06        |
| 0.40                                | 0.79                         | 0.78   | 1.12                              | 1.15                   | 1.53        |
| 0.42                                | 1.12                         | 1.18   | 1.69                              | 1.73                   | 2.16        |
| 0.44                                | 1.68                         | 1.6  | 2.40                              | 2.46                   | 2.99        |
| 0.46                                | 2.37                         | 2.31   | 3.26                              | 3.41                   | 4.05        |
| 0.48                                | 3.2                          | 3.13   | 4.33                              | 4.63                   | 5.28        |
| 0.50                                | 4.1                          | 4.23   | 5.71                              | 6.31                   | 6.61        |
| 0.52                                | 4.7                          | 5.86   | 7.90                              | 8.81                   | 7.90        |

Таблица 2. То же, что в Таблице 1, но для I=1/2

## Заключение

Мы получили формулы, связывающие изотопические формфакторы амплитуды процесса  $\pi N \rightarrow \pi\pi N$  с амплитудами этого процесса в чистых изотопических состояниях.

Затем мы воспользовались тем, что изотопические формфакторы можно определить из эксперимента, если измерить полные сечения и много разных спектров во всех зарядовых каналах этой реакции.

И, наконец, мы вычислили параметры неупругости парциальной амплитуды упругого  $\pi N$ -рассеяния в области энергий, где нет никаких открытых неупругих каналов, кроме  $\pi N \rightarrow \pi\pi N$ .

Результаты наших вычислений показали, что стандартные фазовые анализы хорошо определяют лишь самую большую неупругость, которая оказывается в волне  $P_{11}$ . В остальных волнах имеется различие как количественное, так и качественное.

При этом наши результаты отлично проходят проверку на самосогласованность при вычислении полных неупругих сечений через определенные нами параметры неупругости.